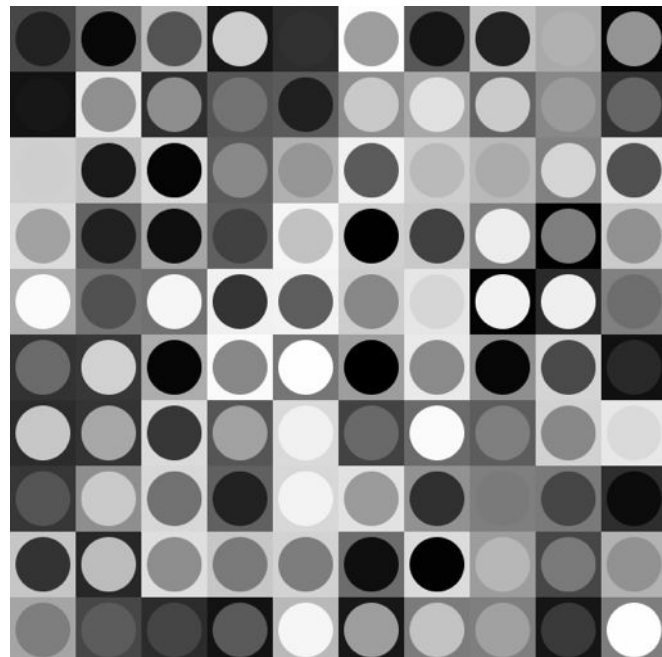


CNAM - NSY116 - oct. 2014

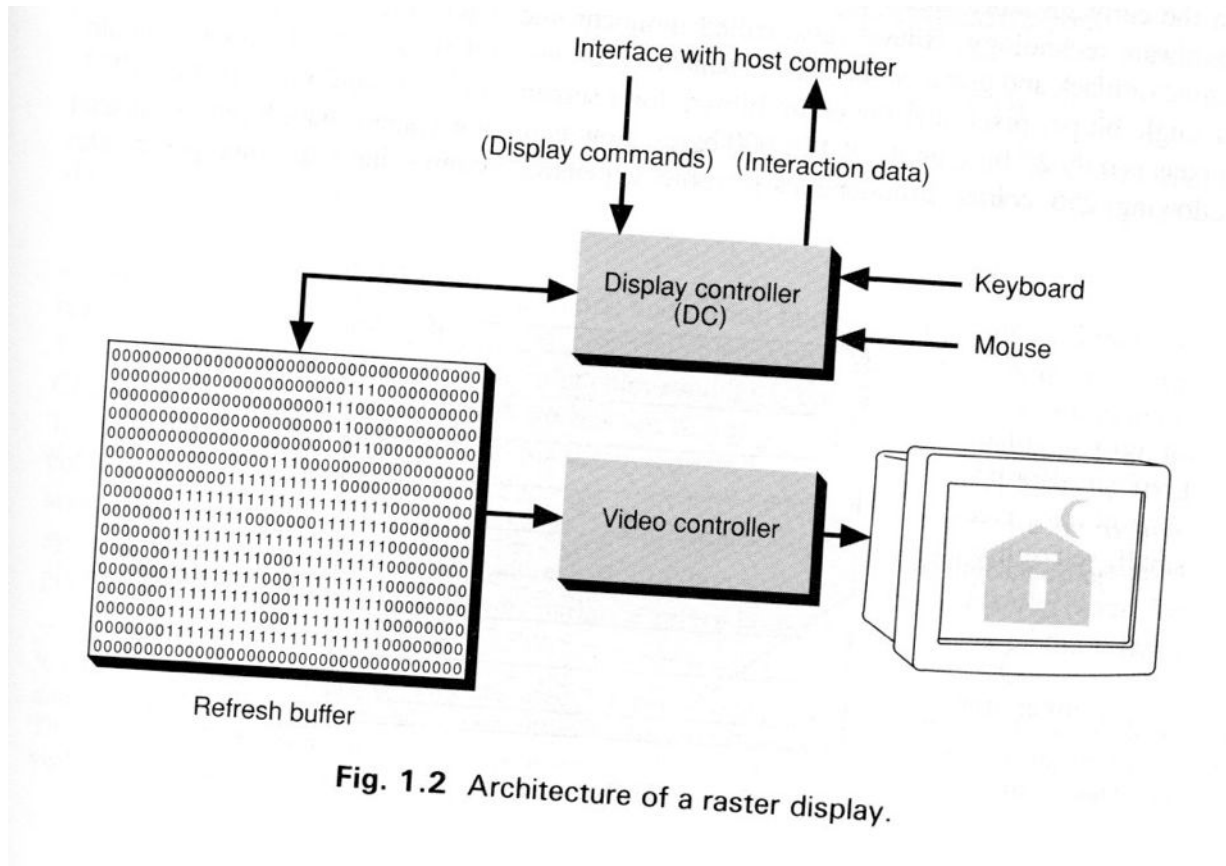
Techniques graphiques 2D

Pierre Cubaud <cubaud @ cnam.fr>



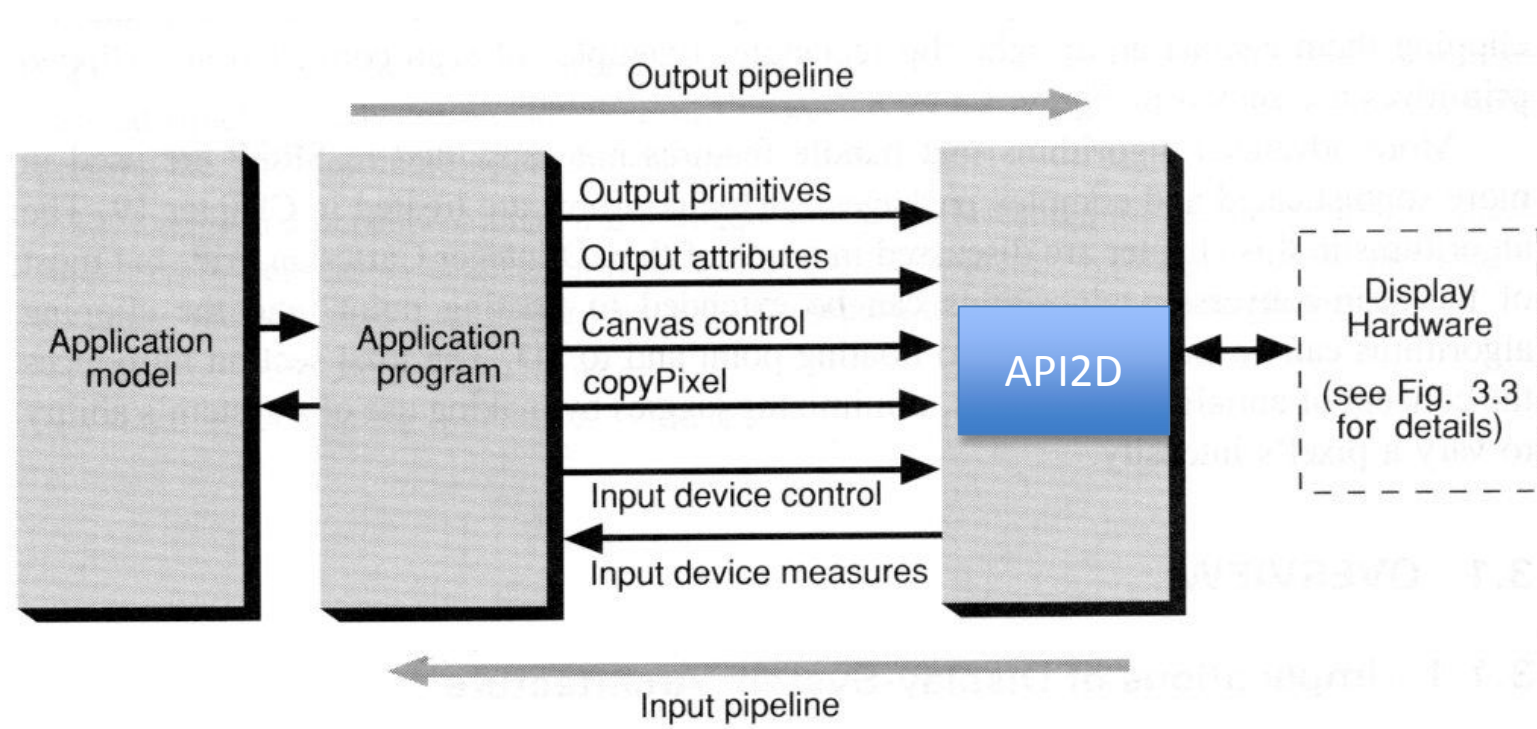
- Dessin bitmap
- Tracé de droites et cercles
- Courbes paramétrées
- Remplissage
- Transformations géométriques

(1) Dessin bitmap

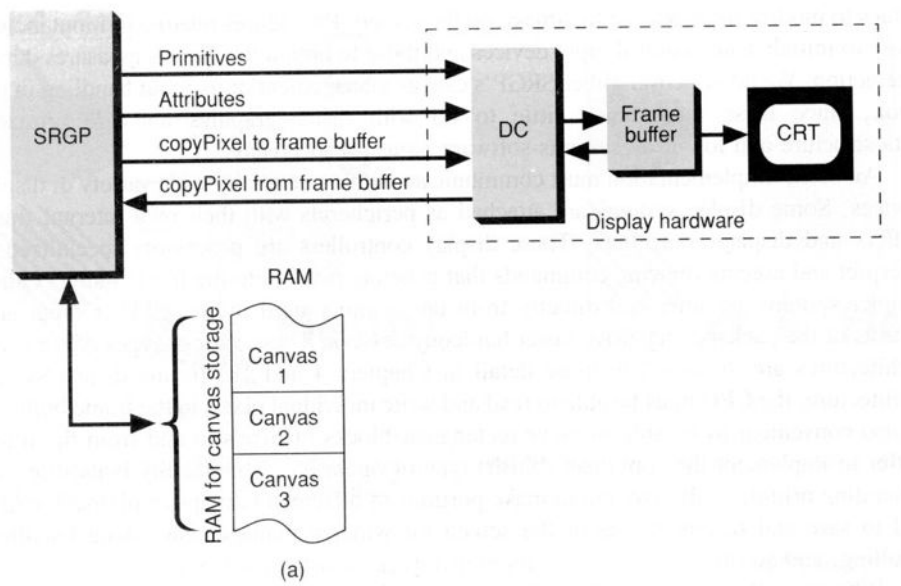


[Foley et al., p.11]

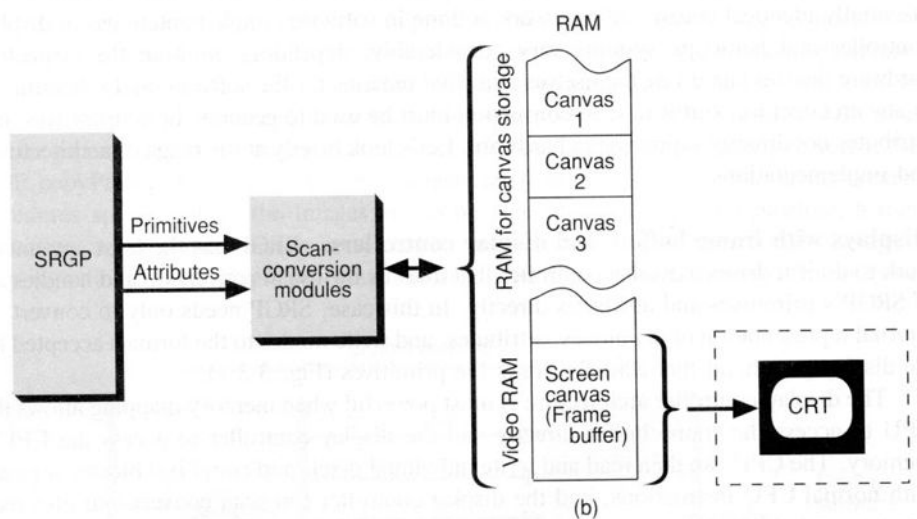
Organisation API Graphique



[Foley et al., p.68]



(a)



(b)

[Foley et al., p.70]

Fig. 3.3 SRGP driving two types of display systems. (a) Display peripheral with display controller and frame buffer. (b) No display controller, memory-shared frame buffer.

Opération sur les bitmaps

syntheseAdditive §

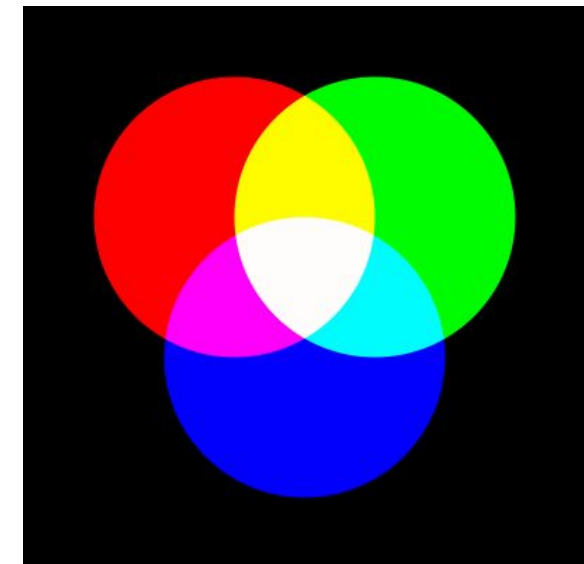
```
PGraphics cr, cv, cb;

cr = createGraphics(400,400, JAVA2D);
cr.beginDraw();
cr.smooth();cr.background(0);cr.fill(255,0,0);cr.noStroke();
cr.ellipse(150,150,200,200);
cr.endDraw();

cv = createGraphics(400,400, JAVA2D);
cv.beginDraw();
cv.smooth();cv.background(0);cv.fill(0,255,0);cv.noStroke();
cv.ellipse(250,150,200,200);
cv.endDraw();

cb = createGraphics(400,400, JAVA2D);
cb.beginDraw();
cb.smooth();cb.background(0);cb.fill(0,0,255);cb.noStroke();
cb.ellipse(200,250,200,200);
cb.endDraw();

cr.blend(cv, 0,0,400,400, 0,0,400,400, ADD);
cr.blend(cb, 0,0,400,400, 0,0,400,400, ADD);
|cr.save("resuADD2.png");
```

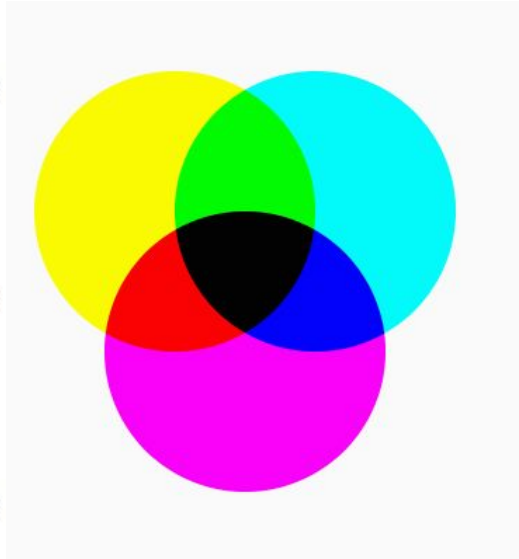


syntheseSoustractive

```
PGraphics cr, cv, cb;

cr = createGraphics(400,400, JAVA2D);
cr.beginDraw();
cr.smooth();cr.background(255);cr.fill(255,255,0);cr.noStroke();
cr.ellipse(150,150,200,200);
cr.endDraw();
cv = createGraphics(400,400, JAVA2D);
cv.beginDraw();
cv.smooth();cv.background(255);cv.fill(0,255,255);cv.noStroke();
cv.ellipse(250,150,200,200);
cv.endDraw();
cb = createGraphics(400,400, JAVA2D);
cb.beginDraw();
cb.smooth();cb.background(255);cb.fill(255,0,255);cb.noStroke();
cb.ellipse(200,250,200,200);
cb.endDraw();

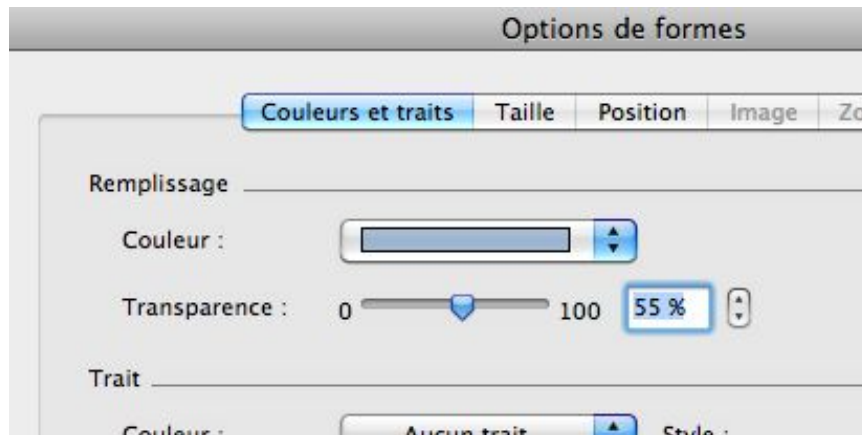
cr.blend(cv, 0,0,400,400, 0,0,400,400, DIFFERENCE);
cr.blend(cb, 0,0,400,400, 0,0,400,400, DIFFERENCE);
cr.save("resuDIFF.png");
```



Nombreux autres opérateurs dans la fonction blend()

La transparence ("alpha channel")

On ajoute à la description <rvb> ou <tsl> du pixel un 4ème paramètre de dosage (en %) pour les opérations de composition

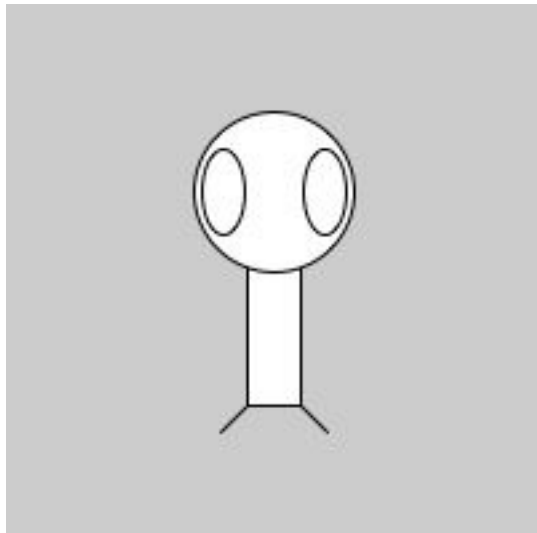


ex de PowerPoint

```
transparence
size(600,600);
background(255);
noStroke();
fill(0,0,250,50);
rect(200,200,400,200);
fill(250,0,0,50);
rect(400,200,200,400);
```

(2) Primitives de tracé

Exemple de Processing : <http://processing.org/tutorials/drawing/>



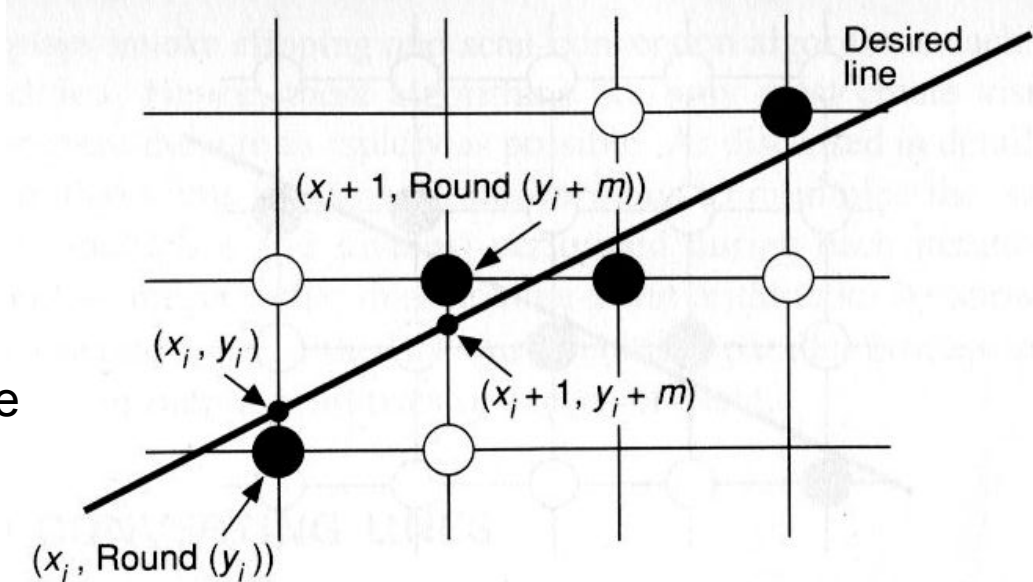
```
size(200,200);
rectMode(CENTER);
rect(100,100,20,100);
ellipse(100,70,60,60);
ellipse(81,70,16,32);
ellipse(119,70,16,32);
line(90,150,80,160);
line(110,150,120,160);
```

Ca marche comment ???

Le tracé de droite

un algo. incrémental ☺
qui utilise des nombres réels ☹

→ pour les pentes $m > 1$, le rôle de x et y est permué et on progresse en y



```

procedure Line (
    x0, y0,
    x1, y1,
    value : integer);
var
    x : integer;
    dy, dx, y, m : real;
begin
    dy := y1 - y0;
    dx := x1 - x0;
    m := dy/dx;
    y := y0;
    for x := x0 to x1 do
        begin
            WritePixel (x, Round (y), value); { Set pixel to value}
            y := y + m {Step y by slope m}
        end
    end; {Line}
    
```

{ Assumes $-1 \leq m \leq 1$, $x0 < x1$ }
 {Left endpoint}
 {Right endpoint}
 {Value to place in line's pixels}
 { x runs from $x0$ to $x1$ in unit increments}

[Foley et al. p73-75]

Algorithme en nombres entiers de Bresenham (1965)

```
void myLine(int x1, int y1, int x2, int y2, color c) {
    int incx,incy,inc1,inc2,dx,dy,piv,d,x,y,xd,yd,xf,yf;
    boolean invert;

    if (x1<x2) incx=1; else if (x1==x2) incx=0; else incx=-1;
    if (y1<y2) incy=1; else if (y1==y2) incy=0; else incy=-1;
    dx=abs(x2-x1);dy=abs(y2-y1);
    // si la pente est >1, inversion des axes
    if (dx<dy) {
        piv=dx;dx=dy;dy=piv;
        piv=incx;incx=incy;incy=piv;
        xd=y1;yd=x1;xf=y2;yf=x2;
        invert=true;
    }
    else {
        xd=x1;yd=y1;xf=x2;yf=y2;
        invert=false;
    }
    // premier point
    x=xd;y=yd;inc1=2*dy;inc2=(dy-dx)*2;d=(dy*2)-dx;
    if (invert) myPoint(y,x,c); else myPoint(x,y,c);
    // boucle de dessin
    while (x != xf) {
        x=x+incx;
        if (d<0)
            d=d+inc1;
        else {
            y=y+incy;
            d=d+inc2;
        }
        if (invert) myPoint(y,x,c); else myPoint(x,y,c);
    }
}
```

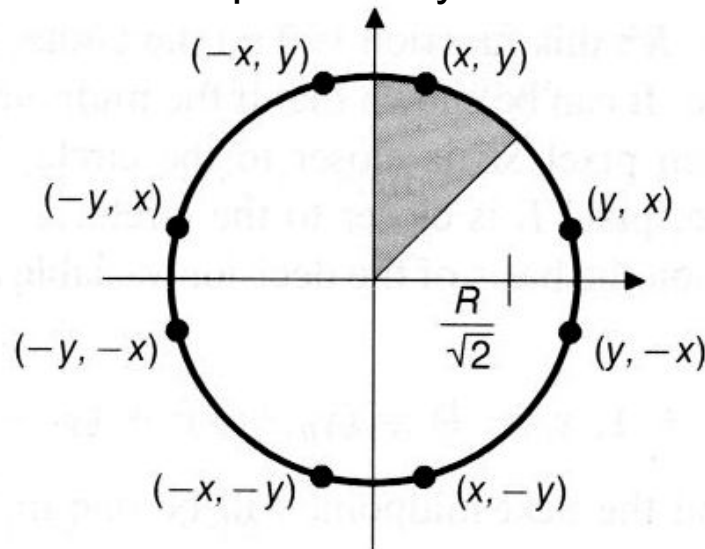
Le tracé de cercle

$$(x - x_C)^2 + (y - y_C)^2 = R^2$$

ou forme explicite : $\begin{cases} x = x_C + R\cos(t) \\ y = y_C + R\sin(t) \end{cases}, t \in [0, 2\pi]$

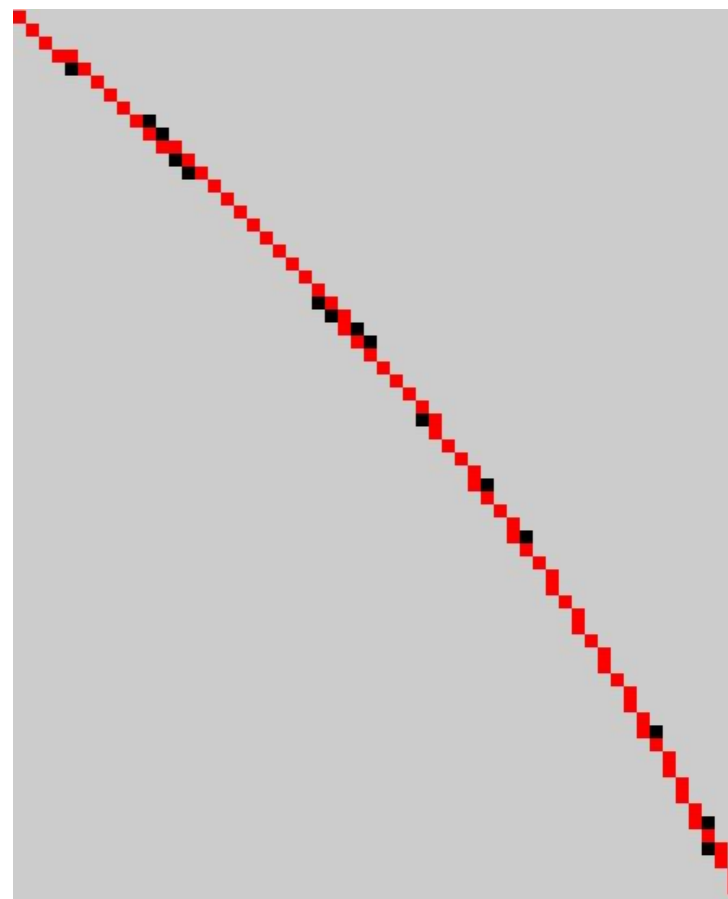
Pas très rapide => utiliser une approche de récurrence comme avec la droite
Crée des lacunes

On exploite la symétrie

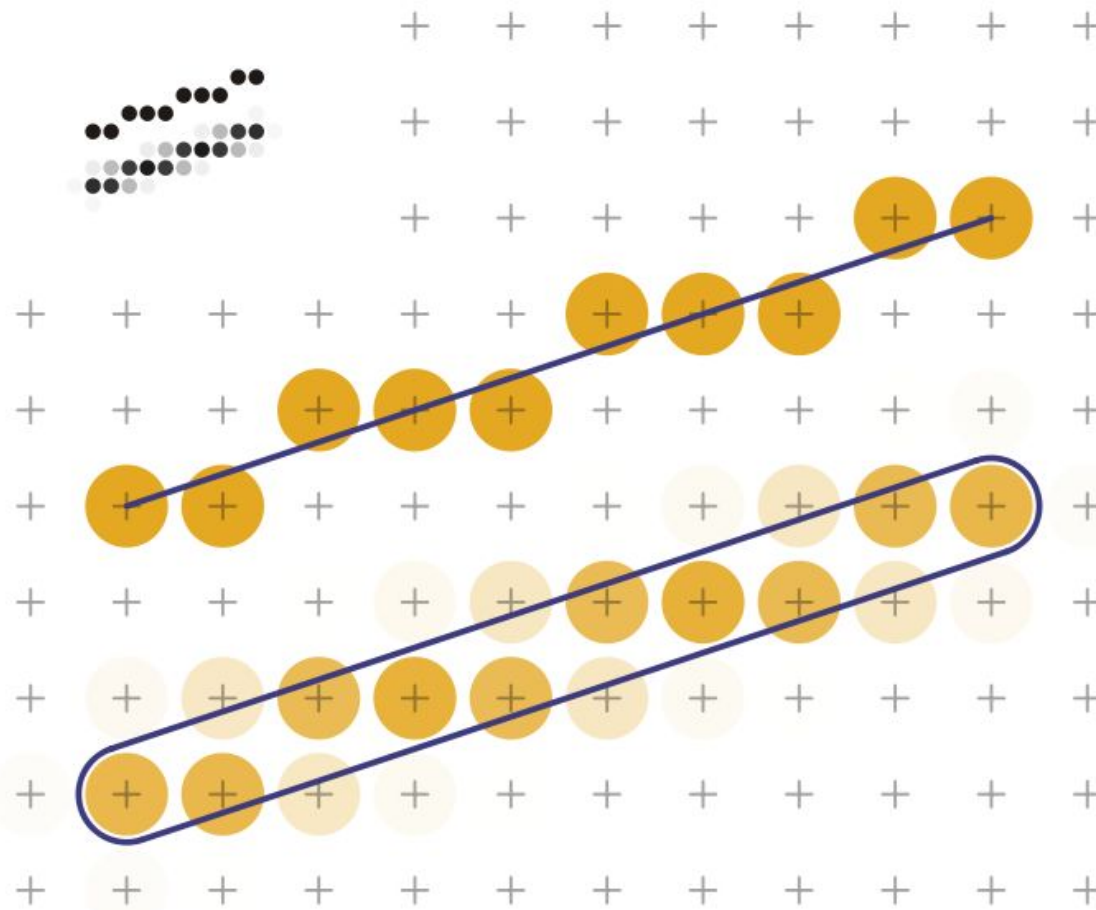


```
void drawCircle(int xC, int yC, int r) {  
    int x = 0;  
    int y = r;  
    int d = r - 1;  
  
    while(y >= x){  
        point(xC + x, yC + y);  
        point(xC + y, yC + x);  
        point(xC - x, yC + y);  
        point(xC - y, yC + x);  
        point(xC + x, yC - y);  
        point(xC + y, yC - x);  
        point(xC - x, yC - y);  
        point(xC - y, yC - x);  
  
        if (d >= 2*x) {  
            d -= 2*x + 1;  
            x ++;  
        }  
        else if (d < 2 * (r-y)) {  
            d += 2*y - 1;  
            y --;  
        }  
        else {  
            d += 2*(y - x - 1);  
            y --;  
            x ++;  
        }  
    } //while  
}
```

comparaison avec le tracé de Processing :

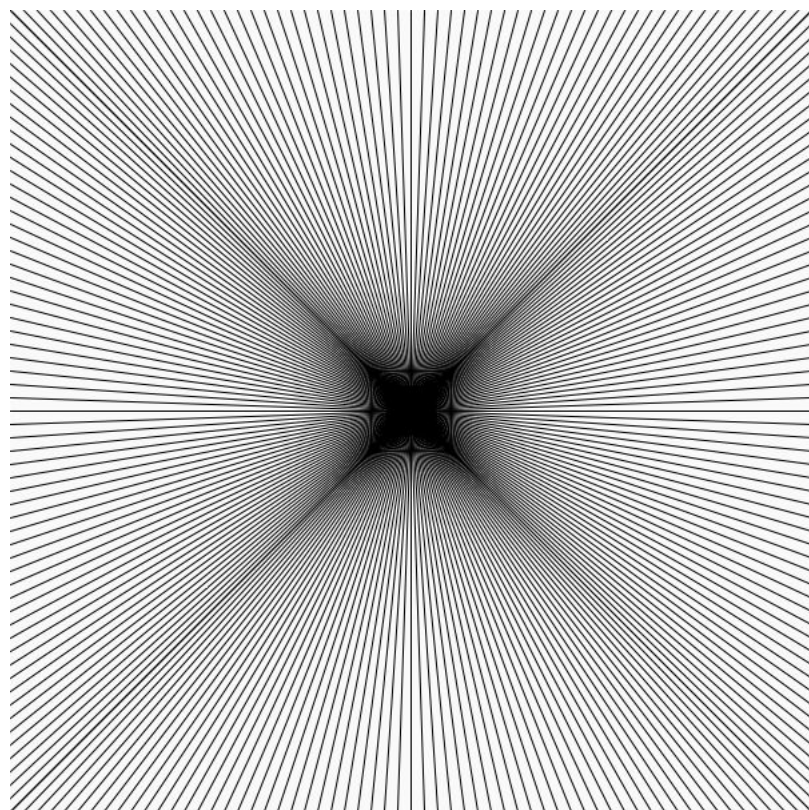


Problème du crenelage, anti-aliasing

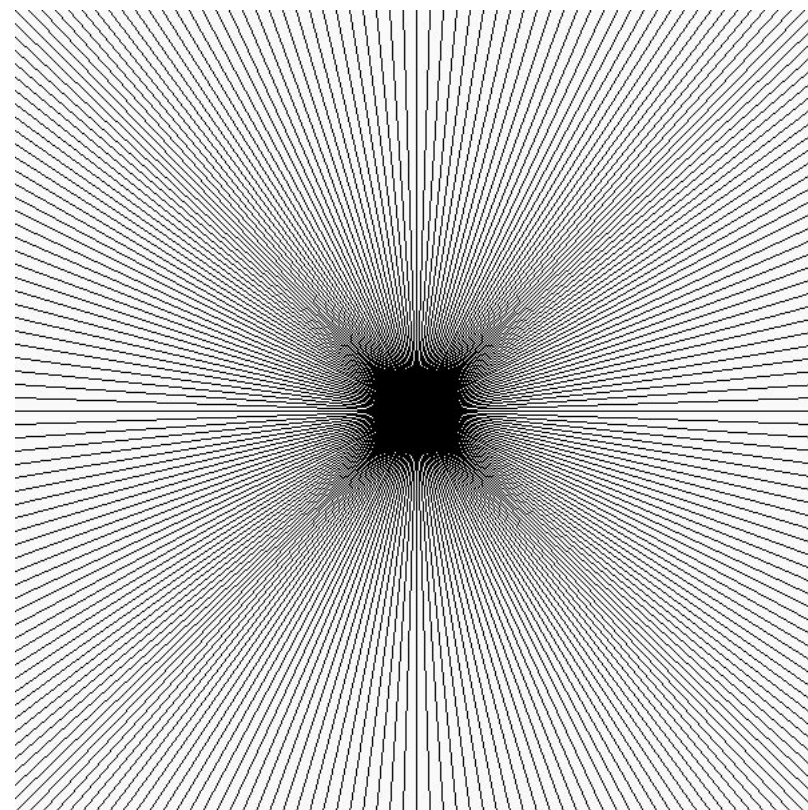


[http://en.wikipedia.org/wiki/Line_drawing_algorithm#mediaviewer/File:
Line_scan-conversion.svg](http://en.wikipedia.org/wiki/Line_drawing_algorithm#mediaviewer/File:Line_scan-conversion.svg)

Traitement de l'aliasing en Processing : l'ordre smooth()



avec



sans

(3) Courbes paramétrées

- Le besoin : approximer et/ou interpoler des contours d'objets "réels"
- Critère esthétique : continuité du premier ordre (tangentes), du 2ème ordre (points d'inflexion)
- Flexibilité : courbes quadratique (ordre 2) insuffisantes

=> une solution : les courbes 2D polynomiales d'ordre 3, généralisées ensuite aux surfaces 3D

de Casteljau : Citroën 1959

Bézier : Renault 1962

Fergusson : Boeing 1964

Coons : MIT 1967

Catmull : Univ. Utah 1974

Définitions

- Courbe en 2D : localisation d'un point P qui se "déplace" dans le plan avec un degré de liberté :

$$p \begin{pmatrix} x \\ y \end{pmatrix} = f \begin{pmatrix} u_1 \\ u_2 \end{pmatrix} = \begin{pmatrix} f_x(u) \\ f_y(u) \end{pmatrix}$$

- Courbe en 3D : localisation d'un point P qui se "déplace" dans l'espace avec un degré de liberté :

$$p \begin{pmatrix} x \\ y \\ z \end{pmatrix} = f \begin{pmatrix} u_1 \\ u_2 \\ u_3 \end{pmatrix} = \begin{pmatrix} f_x(u) \\ f_y(u) \\ f_z(u) \end{pmatrix}$$

- On préfère utiliser ici une forme *explicite* pour définir la surface, plutôt qu'une forme *implicite* comme : $f(x,y,z) = 0$
- On se restreint dans tout ce qui suit à des courbes définies sur des intervalles *bornés*
- On prendra toujours $0 \leq u \leq 1$

Courbes de Bézier

- Définition générale

- Courbe lisse définie par N+1 points de contrôle P0,P1,...PN
- Passe par les extrémitées P0 et PN
- Passe au voisinage des autres points

$$p \begin{pmatrix} x \\ y \\ z \end{pmatrix} = \begin{pmatrix} f_x(u) \\ f_y(u) \\ f_z(u) \end{pmatrix} = \begin{pmatrix} \sum_{i=0}^N B_i(u)x_i \\ \sum_{i=0}^N B_i(u)y_i \\ \sum_{i=0}^N B_i(u)z_i \end{pmatrix}$$

avec $B_i(u) = \frac{N!u^i(1-u)^{N-i}}{i!(N-i)!}$ polynômes de Bernstein

- Notation vectorielle plus commode : $\vec{p} = f(u) = \sum_{i=0}^N B_i(u)\vec{P}_i$

- En pratique, on prend N=3 et donc 4 points de contrôle pour définir la courbe.

La fonction f devient alors :

$$f(u) = \sum_{i=0}^3 B_i(u) \vec{P}_i$$

$$= \vec{P}_0(1-u)^3 + 3\vec{P}_1u(1-u)^2 + 3\vec{P}_2u^2(1-u) + \vec{P}_3u^3$$

$$f(u) = \begin{pmatrix} u^3 & u^2 & u & 1 \end{pmatrix} \left[\begin{array}{cccc|c} -1 & 3 & -3 & 1 \\ 3 & -6 & 3 & 0 \\ -3 & 3 & 0 & 0 \\ 1 & 0 & 0 & 0 \end{array} \right] \begin{pmatrix} \vec{P}_0 \\ \vec{P}_1 \\ \vec{P}_2 \\ \vec{P}_3 \end{pmatrix}$$

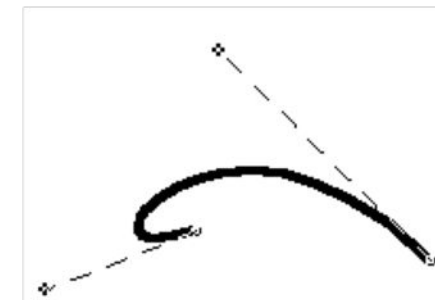
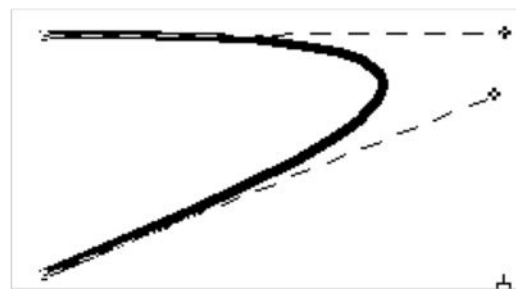
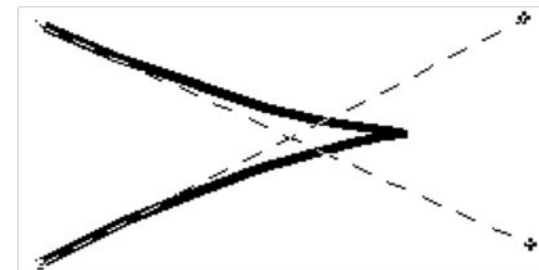
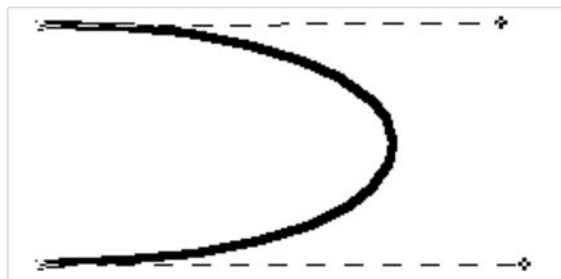
Notation matricielle plus commode :

$$f(u) = \begin{pmatrix} u^3 & u^2 & u & 1 \end{pmatrix} M_B \begin{pmatrix} \vec{P}_0 \\ \vec{P}_1 \\ \vec{P}_2 \\ \vec{P}_3 \end{pmatrix}$$

M_B est la *matrice génératrice* des courbes de Bézier.

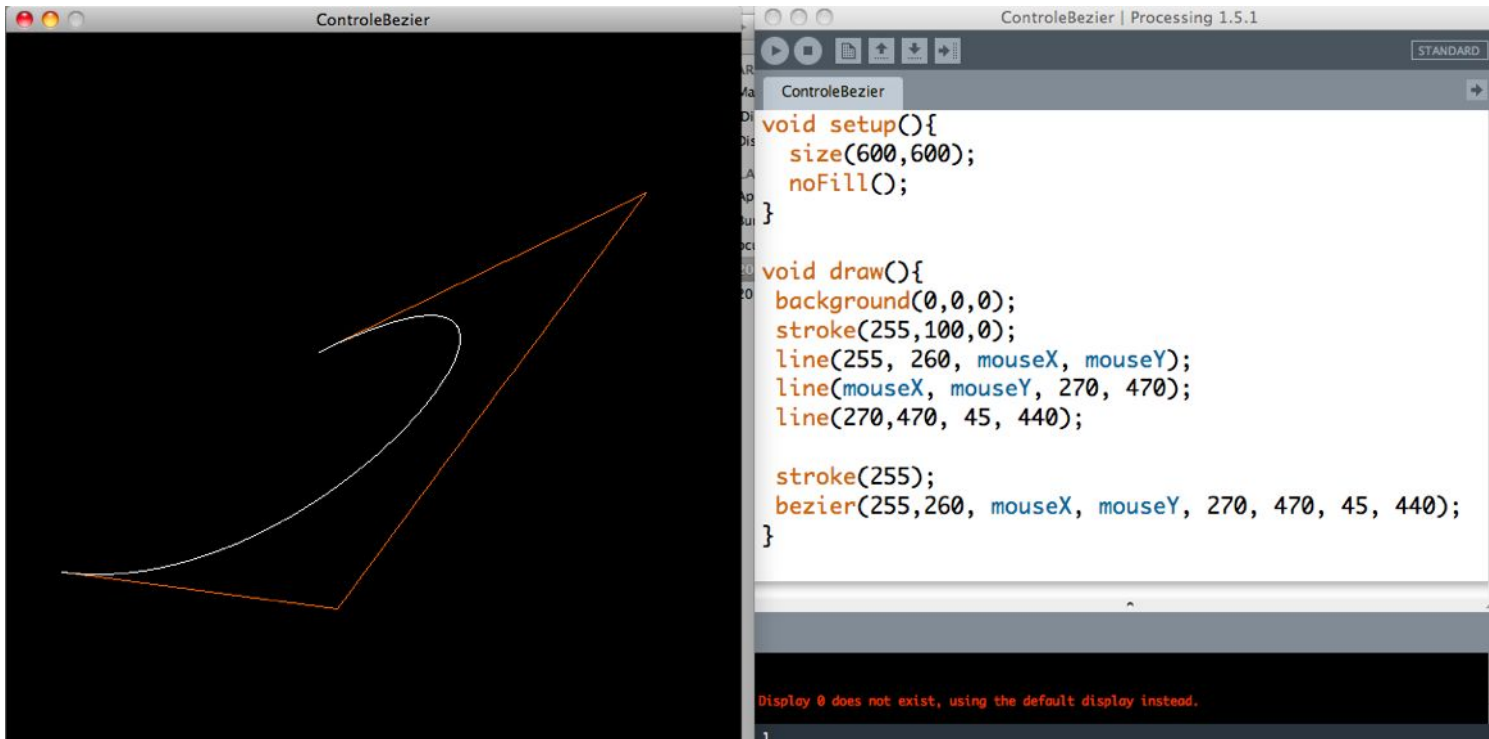
Exemple

Tracé sous MacDraw Pro :



Les points de contrôle définissent l'enveloppe convexe de la courbe

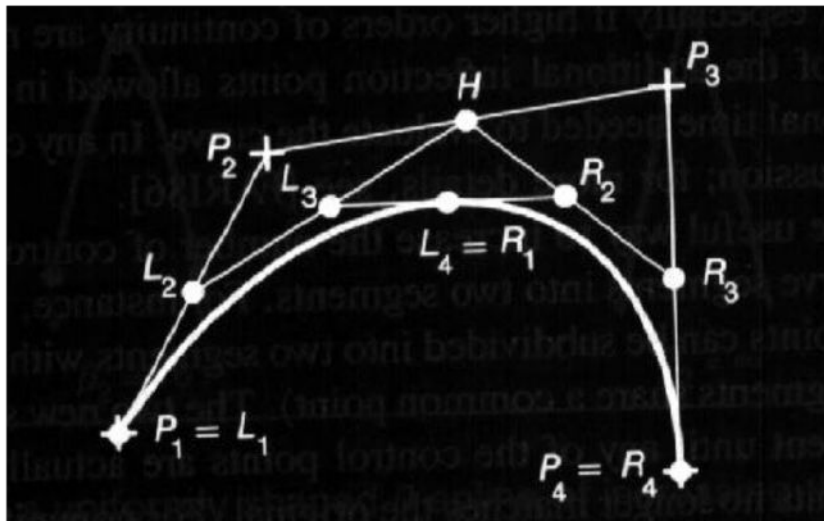
Primitive bezier() de Processing



- Méthode de De Casteljau :

On calcule dans l'ordre :

[FOLEY] p. 508



- (1) $L_1 = P_1$
- (2) $L_2 = (P_1 + P_2)/2$
- (3) $H = (P_2 + P_3)/2$
- (4) $L_3 = (L_2 + H)/2$
- (5) $R_1 = (P_3 + P_4)/2$
- (6) $R_2 = (H + R_1)/2$
- (7) $R_3 = (L_3 + R_2)/2$
- (8) $L_4 = R_1$

Pas de multiplication, juste divisions par 2

Les Splines

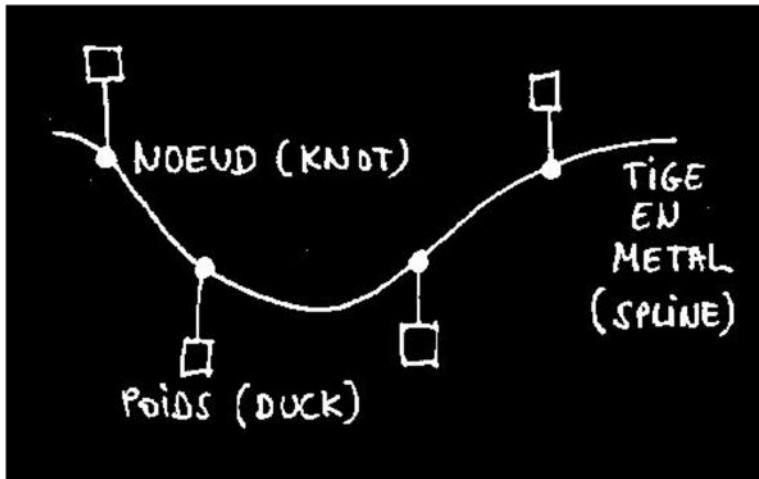
- Inconvénients des Béziers

Si on a plus de 4 (16) points de contrôles, il faut générer 2 (4) courbes (surfaces)

Les tangentes sont définies aux extrémitées de la courbe de Bézier, mais pas la dérivée d'ordre 2 => point d'inflexions impossibles

Si un point de contrôle change légèrement de position, l'ensemble de la courbe (surface) est affectée
(mais faciles à dessiner...)

- Autre approche : les splines



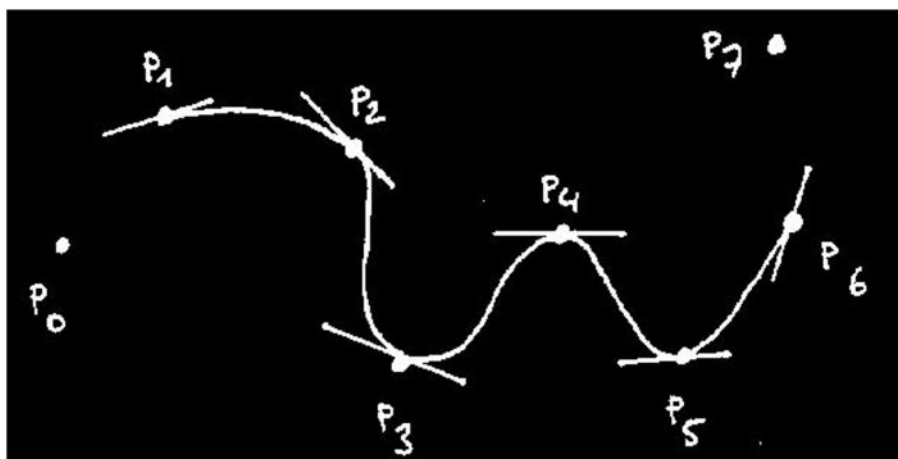
Utilisé pour le design des avions, des voitures et des coques de bateaux

Continuité d'ordre 2 possible aux jonctions

Splines de Catmull-Rom

- On connaît $N+2$ points $P(0)$... $P(N+1)$
- On cherche une courbe *passant* par $P(1)$... $P(N)$
- La tangente au point $P(i)$ est parallèle à la droite $P(i-1), P(i+1)$
- Chaque segment S_i est défini par :

$$f_i(u) = \begin{pmatrix} u^3 & u^2 & u & 1 \end{pmatrix} \frac{1}{2} \begin{pmatrix} -1 & 3 & -3 & 1 \\ 2 & -5 & 4 & -1 \\ -1 & 0 & 1 & 0 \\ 0 & 2 & 0 & 0 \end{pmatrix} \begin{pmatrix} \vec{P}_{i-1} \\ \vec{P}_i \\ \vec{P}_{i+1} \\ \vec{P}_{i+2} \end{pmatrix}$$



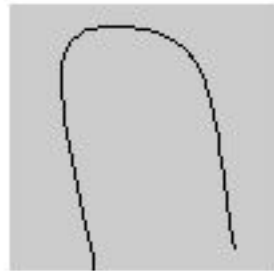
- Inconvénient : connaissance de P_0 et P_7 ??

Utilisation sous Processing :

Name

curveVertex()

Examples

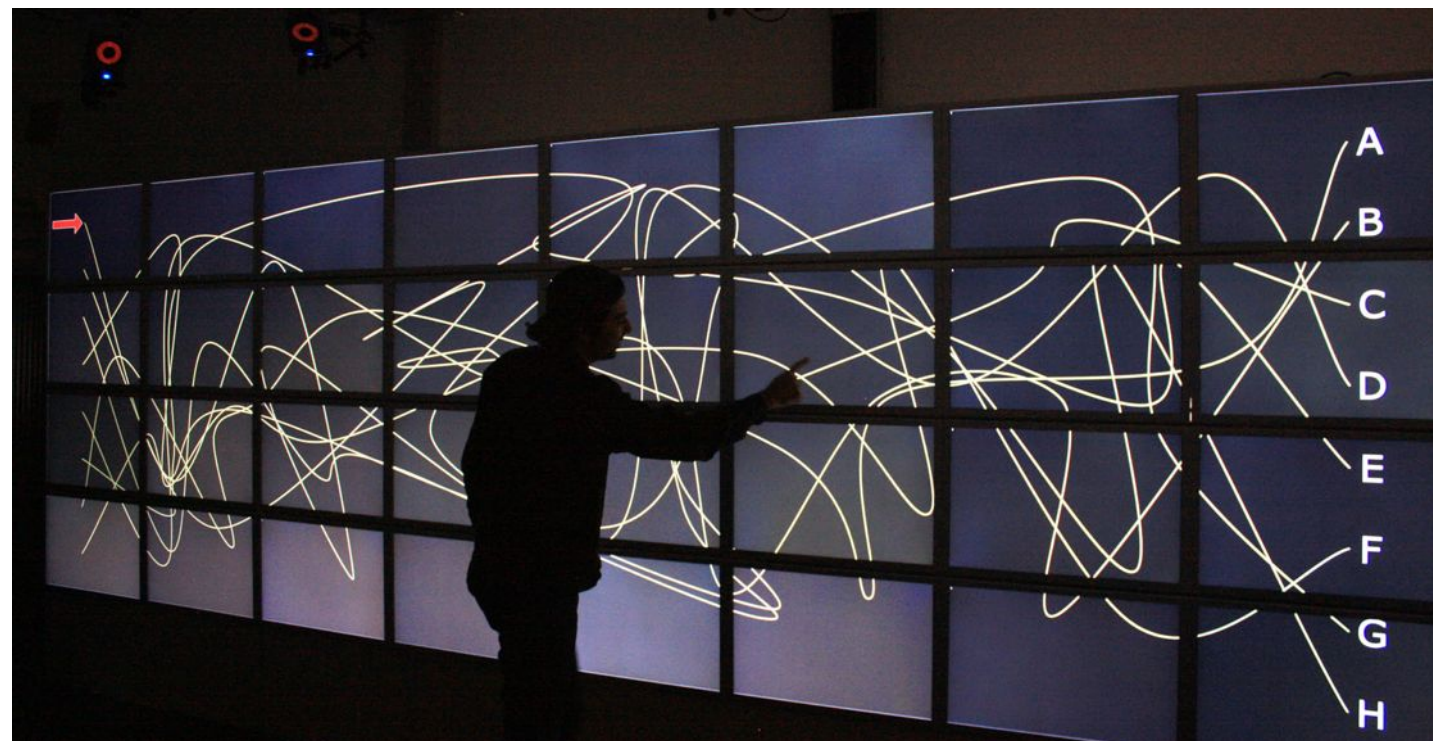
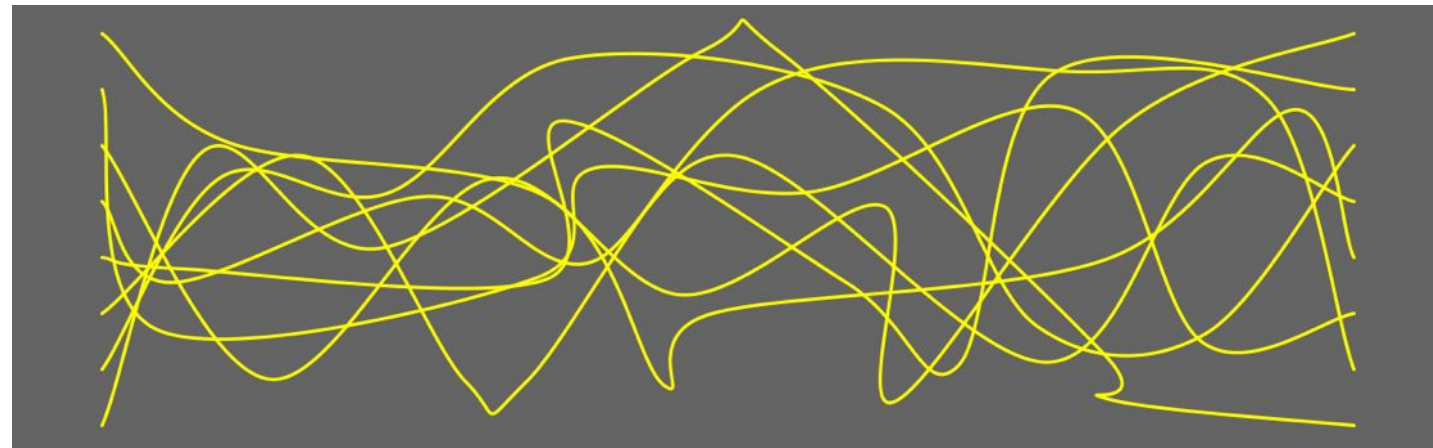


```
noFill();
beginShape();
curveVertex(84, 91);
curveVertex(84, 91);
curveVertex(68, 19);
curveVertex(21, 17);
curveVertex(32, 100);
curveVertex(32, 100);
endShape();
```

Description

Specifies vertex coordinates for curves. This function may only be used between **beginShape()** and **endShape()** and only when there is no MODE parameter specified to **beginShape()**. The first and last points in a series of **curveVertex()** lines will be used to guide the beginning and end of a the curve. A minimum of four points is required to draw a tiny curve between the second and third points. Adding a fifth point with **curveVertex()** will draw the curve between the second, third, and fourth points. The **curveVertex()** function is an implementation of Catmull-Rom splines. Using the 3D version of requires rendering with P3D or OPENGL (see the Environment reference for more information).

Demo

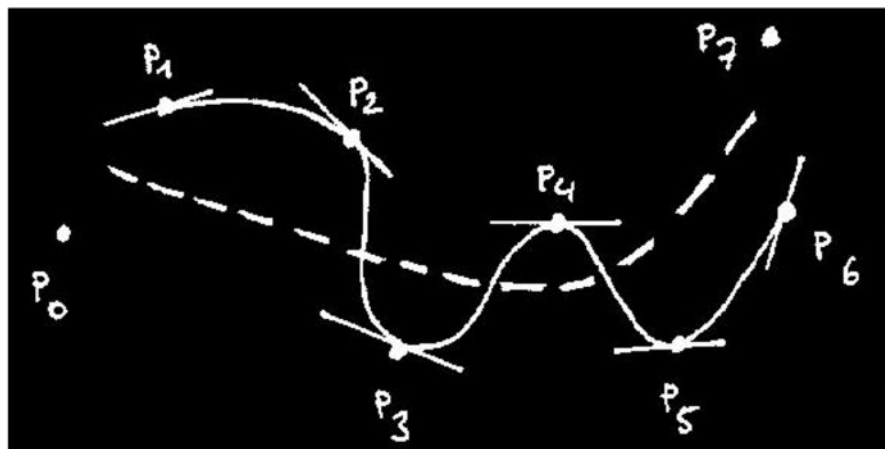


[Almeida et al., AVI'2012]

B-Splines uniformes

- On connaît N points $P(1) \dots P(N)$
- On cherche une courbe *proche* de $P(1) \dots P(N)$
- Continuité d'ordre 1 et 2 d'un segment à l'autre
- Chaque segment Si est défini par :

$$f_i(u) = (u^3 \ u^2 \ u \ 1) \frac{1}{6} \begin{pmatrix} -1 & 3 & -3 & 1 \\ 3 & -6 & 3 & 0 \\ -3 & 0 & 3 & 0 \\ 1 & 4 & 1 & 0 \end{pmatrix} \begin{pmatrix} \vec{P}_{i-1} \\ \vec{P}_i \\ \vec{P}_{i+1} \\ \vec{P}_{i+2} \end{pmatrix}$$

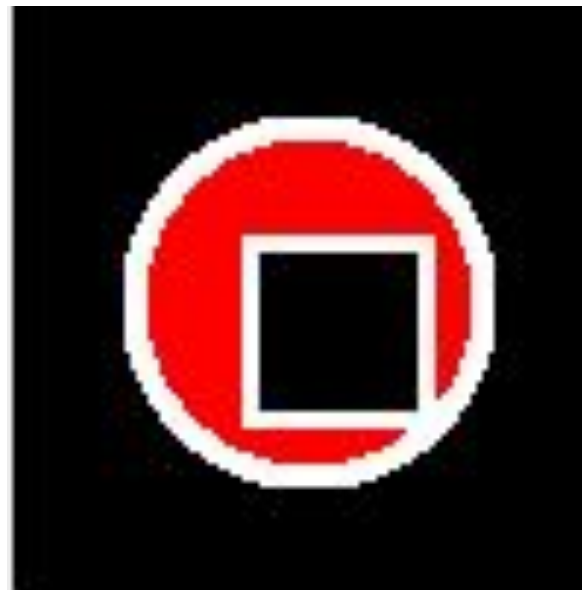


- Exemple :
 - Segment S3 = (P3, P4)
 - $f_3(0) = (P2 + 4P3 + P4)/6$
 - $f_3(1) = (P3 + 4P4 + P5)/6$

(4) Le remplissage

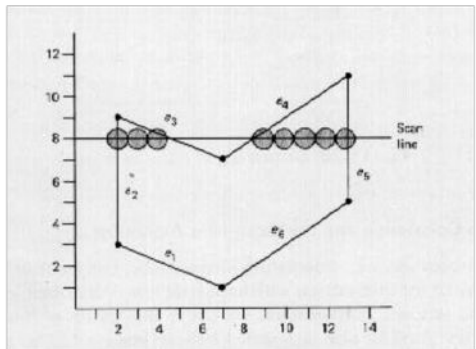
Un algorithme naïf : par inondation (flood fill)

```
floodfillINTER  
void draw(){  
    if (GOFILL)  
        floodfill(38,38);  
  
}  
  
void floodfill(int x, int y) {  
    color c = get(x,y);  
    if (c == NOIR) {  
        set(x,y,ROUGE);  
        if (y>0) floodfill(x,y-1);  
        if (y<height) floodfill(x,y+1);  
        if (x>0) floodfill(x-1,y);  
        if (x<width) floodfill(x+1,y);  
    }  
}  
  
void keyReleased(){  
    GOFILL = true;  
}
```



Il faut se passer de la récursivité !

Balayage pour les polygones



[FOLEY83] p. 457

- On ne tient pas compte des arêtes horizontales
- Attention aux "pointes" (sommets extremums)
- Peut-être spécialisé si polygones = triangles

- Principe :

pour chaque ligne de balayage (coord. y) faire

Chercher les intersections de la ligne avec chaque arête du polygone

Trier les intersections par x croissant

pour chaque pixel compris entre 2 intersections

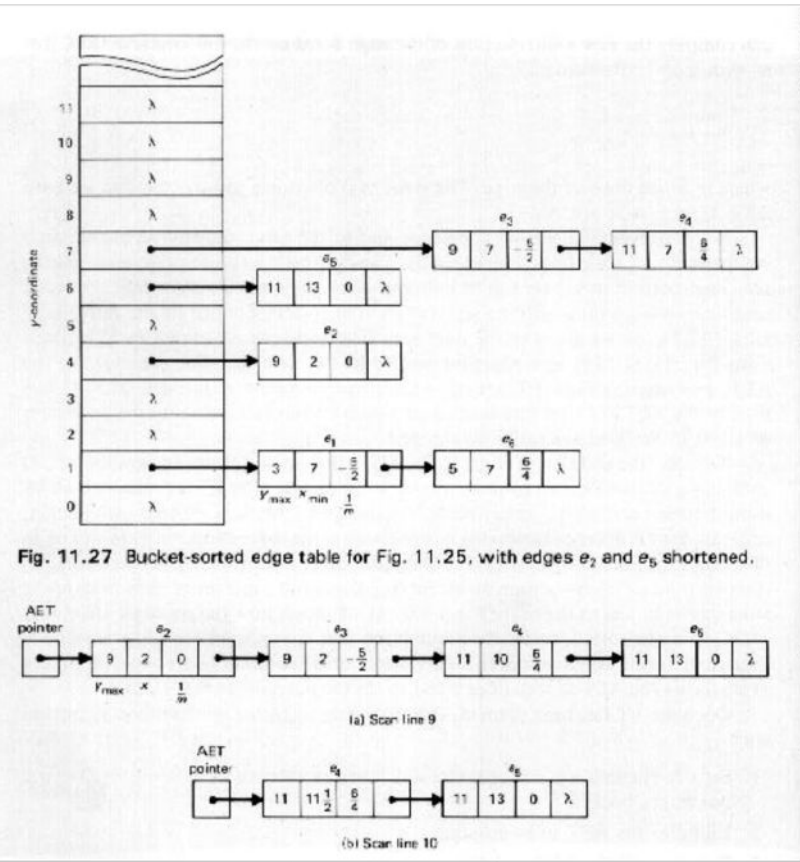
Comparaison avec Zbuffer

Coloriage

fin pour

fin pour

• Algorithme général



BET : bucket-sorted edge table
AET : active edge table

$y :=$ plus petite coord. en Y dans la BET

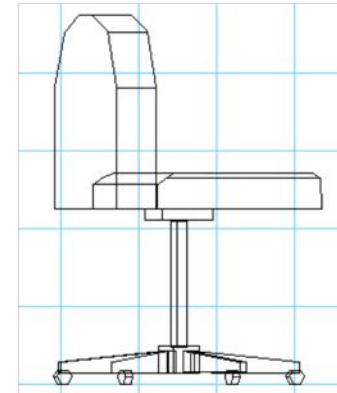
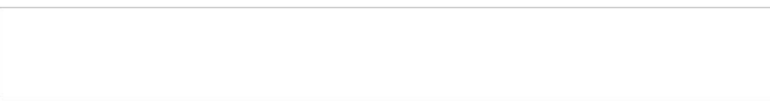
initialiser l'AET à vide

tant que BET et AET non vides faire

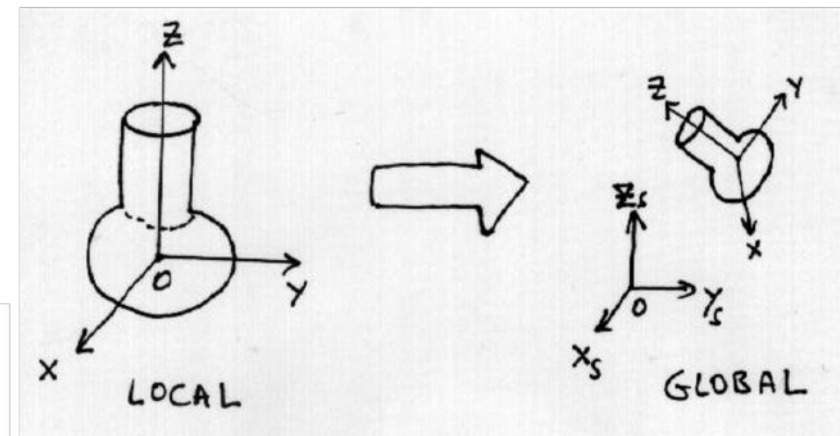
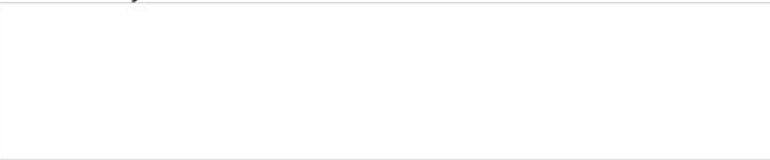
- 1) insérer dans l'AET par x croissant, les éléments de BET[y]
 - 2) balayer les pixels entre les paires successives de l'AET (comparaison avec le Zbuffer + coloriage...)
 - 3) retirer de l'AET les éléments dont $y = y_{\text{max}}$
 - 4) pour chaque élément i de l'AET faire
 $\text{AET}[i].x = \text{AET}[i].x + \text{AET}[i].\text{pente}$
 - 5) trier l'AET par x croissant
 - 6) $y = y + 1$
- fin tant que

(5) Transformations géométriques

- Pour construire de nouveaux objets à partir de volumes élémentaires

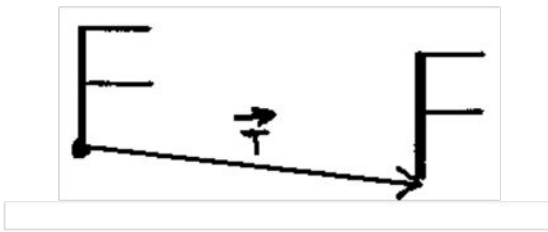


- Pour changer le système des coordonnées utilisées pour décrire un objet.

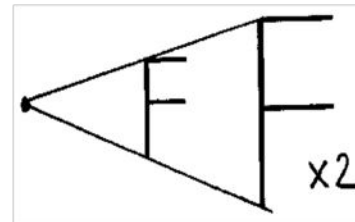


Différents types

Translation

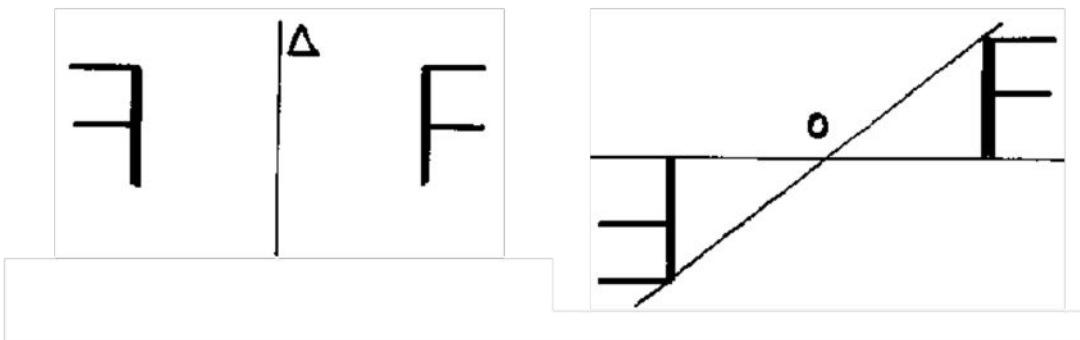


Homothétie

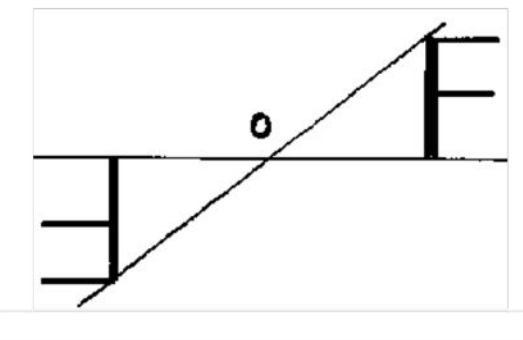


D'après [QUID] p. 278-9

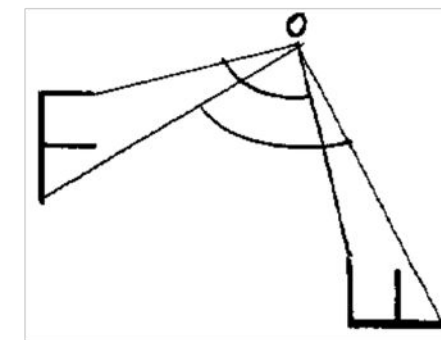
Symétrie orthogonale



Symétrie centrale



Rotation



Opérations matricielles (2D)

- Matrices homogènes

- Toutes les opérations précédentes se ramènent à la multiplication d'une matrice par le vecteur des coordonnées de départ, SAUF pour la translation (addition de 2 vecteurs)

- On va représenter un point $P(x,y)$ par une famille de vecteurs de 3 éléments (x,y,W) . W est le facteur d'échelle.

Ainsi (x,y,W) et $(x/W, y/W, 1)$ représentent le même point.

- Si $W=0$, on dira que le point est à l'infini...

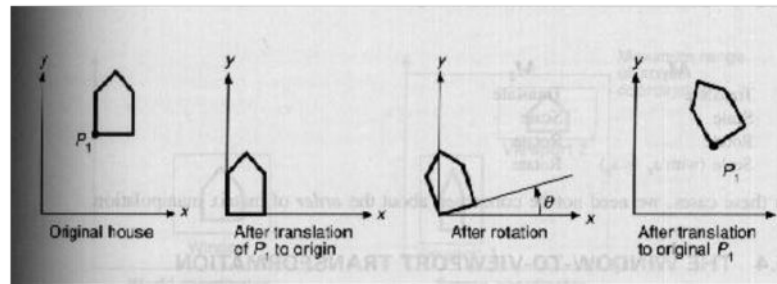
- Translation
$$\begin{pmatrix} x' \\ y' \\ 1 \end{pmatrix} = \begin{pmatrix} 1 & 0 & d_x \\ 0 & 1 & d_y \\ 0 & 0 & 1 \end{pmatrix} \begin{pmatrix} x \\ y \\ 1 \end{pmatrix}$$

- Homothétie
$$\begin{pmatrix} x' \\ y' \\ 1 \end{pmatrix} = \begin{pmatrix} s_x & 0 & 0 \\ 0 & s_y & 0 \\ 0 & 0 & 1 \end{pmatrix} \begin{pmatrix} x \\ y \\ 1 \end{pmatrix}$$

- Rotation par rapport à l'origine
$$\begin{pmatrix} x' \\ y' \\ 1 \end{pmatrix} = \begin{pmatrix} \cos \theta & -\sin \theta & 0 \\ \sin \theta & \cos \theta & 0 \\ 0 & 0 & 1 \end{pmatrix} \begin{pmatrix} x \\ y \\ 1 \end{pmatrix}$$

Exemple de composition

On veut faire une rotation de la maison autour du point P1



[FOLEY] pp. 208-9

Suite d'opérations à réaliser :

Translation de l'objet à l'origine & Rotation & Translation de l'objet à sa position de départ

$$\begin{aligned} & T(x_1, y_1) \circ R(\theta) \circ T(-x_1, -y_1) \\ &= \begin{pmatrix} 1 & 0 & x_1 \\ 0 & 1 & y_1 \\ 0 & 0 & 1 \end{pmatrix} \times \begin{pmatrix} \cos\theta & -\sin\theta & 0 \\ \sin\theta & \cos\theta & 0 \\ 0 & 0 & 1 \end{pmatrix} \times \begin{pmatrix} 1 & 0 & -x_1 \\ 0 & 1 & -y_1 \\ 0 & 0 & 1 \end{pmatrix} \end{aligned}$$

Matrices résultantes : Attention à l'ordre !!

$$= \begin{pmatrix} \cos\theta & -\sin\theta & x_1(1-\cos\theta) + y_1\sin\theta \\ \sin\theta & \cos\theta & y_1(1-\cos\theta) - x_1\sin\theta \\ 0 & 0 & 1 \end{pmatrix}$$

Commutativité pas toujours vérifiée : T.R ≠ R.T

Exemple de base en processing

```
rotation §
void draw(){
    //background(200);
    translate(width/2, height/2);
    float a=map(mouseX,0,width,0,PI/2);
    rotate(a);
    rect(-26, -26, 52, 52);
}
```

A Processing sketch window titled "rotation §". The code defines a draw() function that translates the origin to the center of the canvas, rotates it based on the mouse position, and then draws a rectangular prism centered at (-26, -26) with dimensions 52x52. The image shows a 3D-style rectangular prism with perspective shading, appearing to be rotated diagonally.

Un exemple plus complet :



<http://joyofprocessing.com/blog/2011/11/stars-and-asters/>